

103. 제 sd-1遺伝子와 Est-z locus 간의 관계  
농업기술연구소  
한국수, 金容權, 趙龍九, 卞辰玉, 鄭泰英  
서울대학교 농과대학  
新文会

Linkage relationship between *sd-1* gene and *Est-z* locus in rice

Agric. Sci. Inst. Eun M. Y., Kim Y. K., Cho Y. G., Shin K. O.,  
Chung T. Y.  
Coll. Agric. S.N.U. Heu M. H.

### 実験目的

벼의 遺伝的 特性是 生化學의 之 分析에 表現型의 遗伝子는 生化學의 遗伝子가  
연계를 有する으로서 器官 育種 選拔標識型質은 細胞에 有.

### 材料 및 方法

#### 1) 同位酵素 特性分析

- o 재상 玉金: *Est*, *PGI*, *ME*, *HK*
- o 전자영동법: 등전류 전자영동법

o 材 料: Shiokari 玉秀香으로 之 短程遺伝子 isogenic line 19系統

#### 2) 同位酵素 遺伝 異連角分析

- o 재상 玉金: *Est-z* locus
- o 전자영동법: 등전류 전자영동법

o 材 料: Shiokari / *sd-1* isogenic line, Milyang 23 / Giho 玉秀香 互交자

### 実験結果 및 考察

1. Shiokari 玉秀香으로 之 短程遺伝子 Isogenic line 19系統의 同位酵素 分析  
結果 *sd-1* 遗伝子 系統에서 *Est-z* locus가 有 band에서만 差異을 有함.

2. *Est-z* locus가 2개의 active band와 2개의 nullie band로 有 3개의 allozyme으로 구성되어 有 monomer이며 각각 codominant 特性으로 分離가 有함.

3. Shiokari / *sd-1* isogenic line과 正交互交 互交에서 槽長의 長短: *sd-1* 3:1을 分離가 有함.

4. *Est-z* locus의 Esterase allozyme間에서 槽長分離가 高度의 有함  
遺傳에 認定가 有함이 同位酵素 分離와 是 槽長分離比가 長短: 中程: 短程  
1:π:1을 分離가 有함.

Table 1. Isozyme phenotype of the nineteen near isogenic dwarf lines used in the experiment

Isogenic line	Gene symbol	Dwarf donor	Number of backcrossing times	Isozyme phenotype			
				EST	HE	PGI	HK
ID-1	d-1	H-86	8	HIC	III	H	H
ID-2	d-2	H-85	7	HIC	III	H	H
ID-3	d-3	H-2	4	HIC	III	H	H
ID-6	d-6	H-126	6	HIC	III	H	H
ID-7	d-7	H-7	8	HIC	III	H	H
ID-10	d-10	H-70	8	HIC	III	H	H
ID-11	d-11	H-58	6	HIC	III	H	H
ID-12	d-12	H-62	5	HIC	III	H	H
ID-13	d-13	H-51	5	HIC	III	H	H
ID-14	d-14	H-147	7	HIC	III	H	H
ID-17	d-17	L-71	5	HIC	III	H	H
ID-18 <sup>b</sup>	d-18 <sup>b</sup>	H-71	8	HIC	III	H	H
ID-18 <sup>k</sup>	d-18 <sup>k</sup>	F1-26	8	HIC	III	H	H
ID-19	d-19	H-56	6	HIC	III	H	H
ID-27	d-17	F1-86	6	HIC	III	H	H
ID-30	d-30	F1-3	5	HIC	III	H	H
ID-42	d-42	H-341	4	HIC	III	H	H
ID-47	d-47sd-1	H-120	4	HIC	III	H	H
Shikoku-1 recombinant P.							

Table 2. F<sub>2</sub> Segregation of esterase allozymes in Est-2 locus<sup>a</sup> determined by isoelectric focusing

Combination (P <sub>1</sub> /P <sub>2</sub> )	F <sub>2</sub> phenotypes				Total	Expected ratio	X <sup>2</sup>	P
	P <sub>1</sub>	P <sub>1</sub> P <sub>2</sub>	P <sub>2</sub>	Total				
Milyang 23/Gihobyeo (c/d)	89	179	93	361	1:2:1	0.113	0.90-0.95	
Songjeonbyeo/Daorenqiao (d/c)	12	30	11	56	1:2:1	0.429	0.75-0.99	
Mack kheun/IR 28 (d/c)	17	34	19	70	1:2:1	0.172	0.90-0.95	
Milyang 23/Kasalath (c/nullc)	163 (32)	- : 61 (29)	56 (29) 219 122	3:1 1:2:1	0.039 0.118	0.95-0.99 0.90-0.95		
Gihobyeo/Kasalath (d/nullc)	186 (26)	- : 54 (27)	61 (27) 247 107	3:1 1:2:1	0.012 0.028	0.50-0.75 0.95-0.99		
Kasalath/Milyang 23 (nullc/c)	9	-	35 44	1:3	0.185	0.25-0.50		

1). locus assignment based on IEF by authors

2). Distinguishing heterozygous in F<sub>2</sub> by F<sub>3</sub> analysis

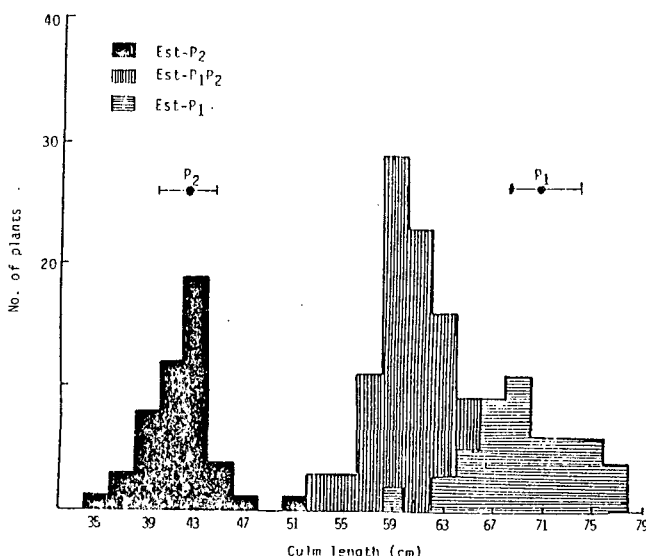


Fig. Segregation of culm length and esterase type in F<sub>2</sub> population of shikoku-1/sd-1 isogenic cross combination.

Table 3. Linkage relationships between sd-1 and Est-2 genes.

Character	Est-2			X <sup>2</sup>
	P :	P <sub>1</sub> : P <sub>2</sub>	P <sub>2</sub>	
Tall	52	84	1	137
sd-1	0	0	48	**
Total	52	84	49	185